

Liste des discontinuités.

1. Suite des pro-modules

Lemme 1.1. Soient S un site, C un champ sur S , $\text{pro}(C)$ la catégorie fibrée sur S de fibres les catégories $\text{pro}(C(U))$, et $\text{pro}^a C$ le champ engendré par $\text{pro} C$. Si $U \in \text{Ob } S$ est quasi-compact quasi-séparé, alors, pour $X, Y \in \text{pro} C(U)$, on a

$$\text{Hom}_{\text{pro} C}(X, Y) = \text{Hom}_{\text{pro}^a C}(X, Y)$$

Il suffit de vérifier que, pour (U_i) recouvrement ouvert fini de U et $(U_{i,j})$ recouvrement ouvert fini de $U_i \times_U U_j$, on a une suite exacte

$$\text{Hom}_{\text{pro} C(U)}(X, Y) \rightarrow \prod_i \text{Hom}_{\text{pro} C(U_i)}(X, Y) \rightrightarrows \prod_{i,j,k} \text{Hom}_{\text{pro} C(U_{i,j,k})}(X, Y)$$

Pour la vérification, on note que les lins finis commutent aux lins et aux lins filtrants.

Variante 1.2. Soient X un espace topologique localement compact, C un champ sur X , K un compact de X et $X, Y \in \text{pro} C(K)$

(où $\text{pro} C(K) = \text{déf} \varinjlim_{U \supset K} \text{pro} C(U)$)

On a

$$\text{Hom}_{\text{pro} C(K)}(X, Y) = \text{Hom}_{\text{pro}^a C(K)}(X, Y)$$

Proposition 1.3. Soient X un espace topologique noethérien et \mathcal{C} un champ sur X . On suppose que \mathcal{C} est un champ en catégories abéliennes, que les foncteurs de restriction sont exacts et que

(*) quels que soient $V \subset U$ dans X , $F \in \text{Ob } \mathcal{C}(U)$ et $G \subset F|_V$, il existe un plus petit sous-objet G_1 de F tel que $G_1|_V = G$. Sa formation est de nature locale, et donc $G_1 \in \mathcal{C}$, $G_1|_V = G$.

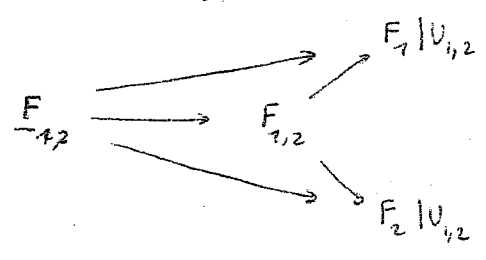
Alors, $\text{pro } \mathcal{C}$ est un champ sur X

Exemple : X schéma noethérien, \mathcal{C} = faisceaux cohérents
 \mathcal{C} = faisceaux quasi-cohérents.

Preuve. Il reste à vérifier que les objets se recollent et, réciproquement, il suffit de vérifier que pour U_1 et U_2 deux ouverts de X , $F_1 \in \text{pro } \mathcal{C}(U_1)$, toute donnée de recollement $F_1|_{U_1 \cap U_2} \approx F_2|_{U_1 \cap U_2}$ est effective. Soit $F_{1,2} = F_1|_{U_1 \cap U_2}$.

Soit donné deux flèches $F_i \rightarrow F_i$ ($i=1,2$; $F_i \in \mathcal{C}(U_i)$).

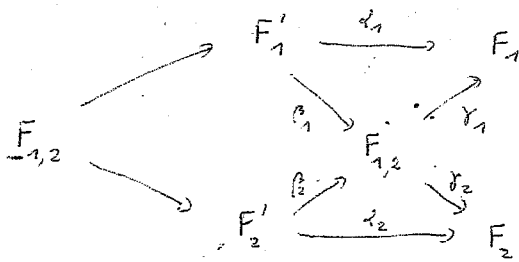
Il existe alors un diagramme commutatif



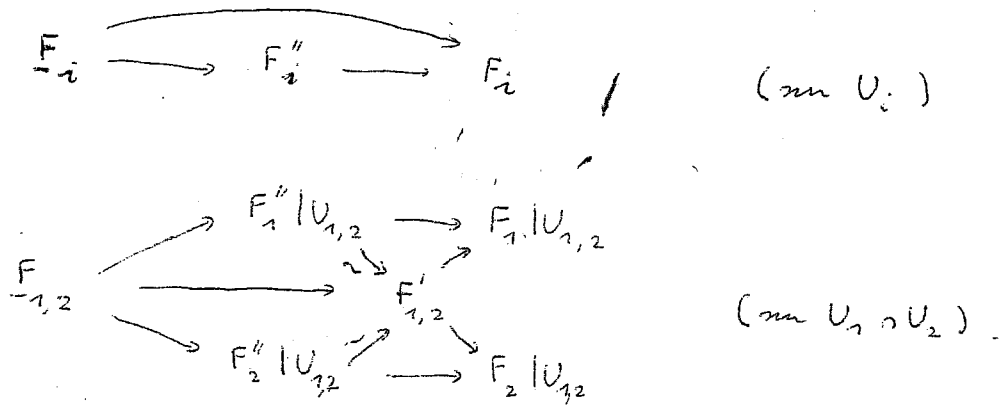
De plus, puisque $F_{1,2} = F_i|_{U_{1,2}}$ on peut trouver un diagramme commutatif

$$\begin{array}{ccc}
 F_i & \longrightarrow & F'_i \xrightarrow{\alpha_i} F_i \\
 & \searrow & \uparrow \\
 & & F_i
 \end{array}
 \quad (\text{sur } U_i)$$

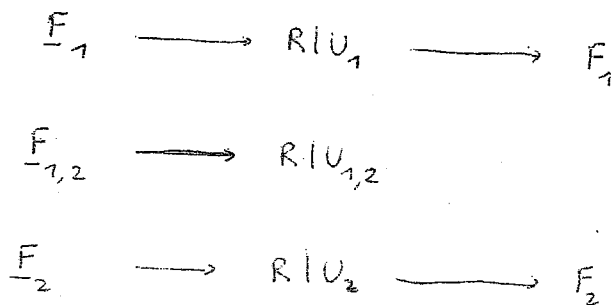
donnent lieu à un diagramme commutatif sur $U_1 \cap U_2$



Sur $U_1 \cap U_2$, on a $\text{Ker}(\beta_i) \subset \text{Ker}(\alpha_i)$. Soit K_i le plus grand sous objet de F'_i tel que $K_i|_{U_{1,2}} = \text{Ker}(\beta_i)$. On a $K_i \subset \text{Ker}(\alpha_i)$, et, remplaçant F'_i par F'_i / K_i , on peut supposer que β_i est un monomorphisme. Soient $F'_{1,2} = \beta_1(F'_1) \cap \beta_2(F'_2)$, et F''_i le plus grand sous-objet de F'_i tel que $F''_i|_{U_{1,2}} = \beta_i^{-1}(F'_{1,2})$. On dispose encore d'un diagramme commutatif



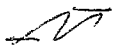
On peut alors recoller les F''_i selon $F'_{1,2}$ et obtenir R sur $U_1 \cup U_2$ et un diagramme



Si maintenant \underline{R} est le système projectif des \mathbb{Q} -objets R de $\mathcal{C}(U_1 \cup U_2)$ munis de flèches compatibles $\underline{F}_i \rightarrow R$,

on a $\underline{R}|_{U_i} \sim \underline{F}_i$

et les \underline{F}_i se recollent.



(1.4) J'aurai encore à utiliser les principaux résultats de l'appendice à Hartshorne, *Rendues and duality*, pour lesquels je renvoie à loc. cit.

(1.5) Un cristal pro-cohérent \mathcal{Y} est une section cartésienne, au-dessus de la catégorie des épaissements de type fini d'objets de X , du champ des pro-objets ~~de la catégorie~~ du champ des Modules cohérents.

(1.6) Si X est un schéma et F une partie localement fermée de X , $j: F \rightarrow X$, on dispose de foncteurs

$$\begin{cases} j^* \\ j_! \end{cases} \text{ des cristaux pro-cohérents sur } \begin{matrix} X \\ F \end{matrix} \text{ dans ceux sur } \begin{matrix} F \\ X \end{matrix}$$

et pour $U = X - F$, F fermé

$$U \xrightarrow{j} X \xrightarrow{i} F$$

d'une suite exacte

$$0 \rightarrow j_! j^* \mathcal{E} \rightarrow \mathcal{C} \rightarrow L_{\neq}^* \mathcal{C} \rightarrow 0.$$

conduisant
à la suite exacte

2. le cas lisse et localement constant

(2.1) Rappelons que si X est un schéma lisse sur \mathbb{C} , il y a équivalence de catégorie entre

- (i) les systèmes locaux complexes sur X^{top}
- (ii) les fibrés vectoriels (alg) à connexion intégrable (alg) régulière sur X
- (iii) les cristaux en fibrés vectoriels sur X , définissant une connexion intégrable régulière sur X

→ (2.2) Soit $h: X_{\text{cis}} \rightarrow X_{\text{an}}$ le pp morphisme de ~~schéma~~ topologie canonique, et

$$h^{\text{an}}: X_{\text{cis}}^{\text{an}} \rightarrow X_{\text{top}}^{\text{an}}$$

l'analogie analytique. Les théorèmes fondamentaux (X lisse) sont

- (a) Pour V fibré vectoriel algébrique à connexion intégrable sur X et $\alpha(V)$ le cristal correspondant, on a
- $$R h_* (\alpha V) = \Omega_X^*(V) \quad (\text{Grothendieck})$$
- $$R h_*^{\text{an}} (\alpha V) = \Omega_{X^{\text{an}}}^*(V)$$
- (b) Pour V régulier, $R\Gamma(X_{\text{an}}, \Omega_X^*(V)) \xrightarrow{\sim} R\Gamma(X_{\text{top}}, \Omega_{X^{\text{an}}}^*(V))$
- (c) Pour V système local complexe sur X_{top} ,
- $$V \xrightarrow{\sim} R h_*^{\text{an}} (h^{\text{an}*} V \otimes_{\mathbb{C}} \mathcal{O}) = \Omega_X^*(V \otimes_{\mathbb{C}} \mathcal{O}) \quad (\text{Poincaré})$$

3 Construction de certains prochéants Enoncés

Soit X un schéma de type fini sur \mathbb{C} .

Définition 3.1 Un faisceau algébriquement constructible complexe sur X est un faisceau de \mathbb{C} -vecteurs F sur $X_{\text{ét}}$, tel qu'il existe une partition $X = \bigcup X_i$ de X en un nombre fini de parties localement fermes ^(par la topologie de Zariski) telles que $F|_{X_i}$ soit un faisceau localement constant de \mathbb{C} -vecteurs de dimension finie.

On dira simplement ici "faisceau constructible".

Rmq : (a) Si F et G sont constructibles, alors $F \otimes G$, et les $\text{Ext}_i^j(F, G)$ sont constructibles.

(b) Si $\mathbb{R} \rightarrow S$ est un morphisme de schémas, alors

(b1) Si F est algébriquement constructible sur X , alors $Rf_* F$ et $Rf_! F$ sont algébriquement constructibles sur S .

(b2) Si F est algébriquement constructible sur S , alors $f^* F$ et les $R^i f^! F$ sont algébriquement constructibles sur X .

(c) Si dans une suite exacte

$$0 \rightarrow F_1 \rightarrow F_2 \rightarrow F \rightarrow F_2' \rightarrow F_1'$$

les F_i et F_i' sont constructibles, alors F est constructible.

Définition 3.2. Soient V un faisceau constructible sur X_{top} et F un faisceau algébrique ~~pro-~~ cohérent sur X . Un homomorphisme modéré de V dans F est un morphisme de faisceau $\varphi: V \rightarrow F^{an}$, tel que

(*) ~~Quelle que soit~~ ^{Soit} ~~il existe~~ une partition $X = \cup Y_i$ de X en parties localement fermées pour la topologie de Zariski, et ~~localement fermées~~ ~~linéaires~~, et telles que $V|_{Y_i}$ soit localement constant. Soit V_i^* le cristal défini par $V|_{Y_i}$ (2.1). Alors, pour tout voisinage infinitésimal $Y_{i,n}$ de Y_i dans X , l'homomorphisme

$$(V_i^*|_{Y_{i,n}})^{an} \cong V|_{Y_i} \otimes_{\mathcal{O}_{Y_{i,n}}} \mathcal{O}_{Y_{i,n}} \xrightarrow{\varphi} F^{an}|_{Y_{i,n}}$$

est algébrique.

[On vérifie facilement l'indépendance de la partition]

(3.3) Soit V constructible sur X_{top} . Le foncteur

$$F \longmapsto \text{Hom mod}(V, F)$$

est proreprésentable, car exact à gauche

(pour le voir, notez que $F \mapsto \varinjlim_{n \in \mathbb{N}} F^{an}|_{Y_{i,n}}$ est exact)

On pose On définit le pro-module $\alpha(V)$ par la formule

$$\text{Hom mod}(V, F) = \text{Hom}_X(\alpha(V), F)$$

On a alors

Théorème 3.4: (i) Le foncteur $V \rightarrow \alpha(V)$ est exact et pleinement fidèle

(ii) Il commute aux images réciproques; en particulier, $\alpha(V)$ est cristallin. Il commute au "prolongement par zéro".

(iii) Il commute aux produits tensoriels.

~~(iv)~~ (iv) $\alpha(V)$ est une limite dénombrable, et est plat. (6.1)

(3.5) Soit X un schéma lisse, et D un diviseur à croisement normal sur X . Soit D_k l'ensemble des points de X où passent k branches de D ($0 \leq k \leq \dim X$). On dira que V est adapté à (X, D) si pour tout k , $V|_{D_k}$ est localement constant.

(3.6) Le cœur de la démonstration sera dans l'étude du cas 3.5.

Voici ~~quelques~~ qu'on effectuera au no suivant. Voici quelques trivialisés préliminaires.

(a) Le foncteur $V \rightarrow \alpha(V)$ commute aux images réciproques par une immersion fermée.

(b) Le foncteur $V \rightarrow \alpha(V)$ commute au "prolongement par zéro", dans cas d'une immersion ouverte.

est local
prolongement
(c) Si $X_{\text{ét}}$ est lisse et V localement constant, alors $\alpha(V)$ est le cristal défini par les fibres vectoriels définies par V . (2.1)

(d) Soit $i_* V \rightarrow X_{\text{ét}}$ une partie fermée de $X_{\text{ét}}$ et V un faisceau constructible sur Y . Supposons que $\alpha(V)$ soit un cristal ^{procohérent} sur Y . Alors $\alpha(i_* V)$ est un cristal procohérent sur X et

$$i_* \alpha(V) = \alpha(i_* V)$$

au sens des cristaux procohérents.

4. Construction de certains pro-cohérents; cas standard.

4.1. Soient

$$D = \{z \mid |z| < 1\}$$

$$X = D^m$$

$$Y_i = p_i^{-1}(0) \quad (i \in [1, m], m \leq n)$$

$$Y = \cup Y_i$$

$$Y_Q = \bigcap_{i \in Q} Y_i \quad (Q \subset [1, m])$$

$(Y_Q \downarrow \text{ pour } Q \uparrow)$

$$\rightarrow Y_Q^\circ = Y_Q - \bigcup_{\substack{i \notin Q \\ i \in [1, m]}} Y_i$$

$$X \setminus \bigcup_{i \in [1, m]} Y_i = \bigsqcup_{Q \subset [1, m]} Y_Q^\circ$$

(Y compris $Q = \emptyset$)

$$i_Q : Y_Q \hookrightarrow X$$

$$i_Q^\circ : Y_Q^\circ \hookrightarrow X$$

$$p_Q : X \rightarrow Y_Q$$

$$X_Q = p_Q^{-1}(Y_Q^\circ) = X - \bigcup_{i \notin Q} Y_i$$

$$j_Q : X_Q \hookrightarrow X$$

$$p_Q^\circ : X_Q \rightarrow Y_Q^\circ$$

4.2. Soit V un faisceau sur X adapté à Y . On dispose d'une présentation - suite exacte

$$\underbrace{d_p, d_p^*, p_Q^*, i_Q^*}_{II} V \xrightarrow{d_Q, d_Q^*} \underbrace{\sum_{Q \subset [1, m]} d_Q, p_Q^*, i_Q^*}_{I} V \rightarrow V \rightarrow 0$$

si les flèches sont, lues de gauche à droite.

exemple: $n = m = 1$

(faisceau C^1 sur D^* , prolongé par 0) \rightarrow (faisceau V , restreint à D^* , prolongé par 0) \rightarrow (faisceau constant V_0 sur D)

(on utilise que la fibre V_0 en 0 est envoyée dans la fibre en un pt général.)

42. Soit V un faisceau de \mathbb{C} -vecteurs sur X adapté à Y . On

se propose de définir une résolution de V par des sommes de faisceaux

localement constants prolongés par zéro.

a) Pour $P \in [1, m]$, soit V'_P ~~le faisceau~~ ^{le faisceau} sur X_P , l'unique faisceau localement constant sur X_P qui prolonge $V|_{Y_P^0}$, et soit $V_P = j_{P!} V'_P$. Son existence et unicité provient de ce que

$$\mathbb{R}^1 \pi_1(Y_P^0) \rightarrow \mathbb{R}^1 \pi_1(X_P)$$

b) Pour $P \subset Q \subset [1, m]$ on dispose sur X_P d'un morphisme canonique

$$\varphi: V_Q \rightarrow V_P. \text{ On dispose encore de } \varphi: V_P \rightarrow V$$

c) V_P est foncteur exact en V

Proposition 4.3. Pour chaque application croissante $\sigma: \Delta_i = [0, i] \rightarrow \Delta_j = [0, j]$

de $\Delta_i = [0, i] \xrightarrow{\sigma} \Delta_j = [0, j]$ dans l'ensemble des parties de $[1, m]$, soit $V'_\sigma = V_{\sigma(i)}|_{X_{\sigma(i)}}$

et soit $V_\sigma = [V'_\sigma \text{ prolongé par zéro}]$. Pour toute application

croissante $\varphi: \Delta_i \rightarrow \Delta_j$, on dispose de

$$\varphi^*: V_\sigma \rightarrow V_{\sigma \circ \varphi}$$

d'où un complexe semi-simplicial augmenté vers V de composantes

$$(43.1) \quad V(i) = \sum_{\text{Hom}_\mathbb{Z}(\Delta_i, \mathcal{S}(E))} V_\sigma$$

$$\sum_{Q \subset R} j_{Q!} j_Q^* V_R \quad \rightrightarrows \quad \sum_{P \subset Q} j_{P!} j_P^* V_Q \quad \rightrightarrows \quad \sum_i V_P \rightarrow V$$

Ce complexe est une résolution de V

Les composantes d'un tel complexe sont foncteur exact en V ; il suffit donc de traiter le cas où V est localement constant sur Y_P^0 , prolongé par zéro.

V_Q est alors nul pour $Q \neq P$, et le complexe est nul en dehors de X_P .

sur $X \in Y_Q^0$, $Q \subset P$, on a $(V_Q)_x \neq 0 \Leftrightarrow \sigma(i) = P \text{ et } \sigma(j) \supseteq Q$

ou $Q = P$, nul $V_P \neq 0$, et on. Pour $Q \neq P$, il y a lieu de considérer le

nombre d'éléments de l'ensemble ordonné $\mathcal{P}(P \cup Q)$ modulo le sous-complément de $\{P\}$ à \emptyset .

4.3 Soit X une variété analytique, \mathcal{V} un diviseur à croisements normaux dans X , et V un faisceau localement constant sur $X - Y$, prolongé par 0 sur X . Soit $j: X - Y \rightarrow X$.

Soit V^* le fibré vectoriel sur X de sections des sections de $j_* j^* V \otimes \mathcal{O}(\log(\mathcal{O}(X, Y))^k)$ près de Y (prolongement canonique de $V \otimes \mathcal{O} \mid X - Y$)

Soit $\alpha_k(V) = I^k \cdot V^*$, où I est l'idéal qui définit Y . On note que $\alpha_k(V)$ est exact en V .

4.4 Les faisceaux I et II de 4.2 sont sommes de faisceaux du type considéré en 4.3. On étend la définition 4.3 par additivité à de tels faisceaux; α_k reste fonctoriel.

Lemme 4.6. Le complexe des $\alpha_k(V(c))$ est acyclique en dimension $l \neq 0$.

Preuve. Puisque $\alpha_k(V(c))$ dépend de façon exacte de $V(c)$, on se ramène par dévissage au cas où V est localement constant de rang 1 sur Y_P° , prolongé par zéro. Soit L' le prolongement canonique de $V \otimes \mathcal{O}$ sur Y_P , I l'idéal qui définit $Y_P - Y_P^\circ$, $L'' = I^k L'$, et L l'image réciproque de L'' sur X . On a V par p_P . Si J_A ($A \in [1, m]$) est l'idéal qui définit

$\bigcup_{i \in A} Y_i$, on a, pour $\sigma: \Delta_i \rightarrow \mathbb{P}([1, m])$

$$V_\sigma = \begin{cases} 0 & \text{si } \sigma(i) \neq P \\ L \cdot J_{P-\sigma(i)}^k & \text{si } \sigma(i) = P \end{cases}$$

Reste à considérer le complexe de cohomologie

$$W^i = \sum_{\text{Hom}(\Delta_i, \mathbb{P}(P))} J_{P-\sigma(i)}^k$$

4
 Enivons $\mathcal{F}(D)$ le ensemble semi-simplicial $\text{Hom}(\Delta_1, \mathcal{F}(P))$
 est le complexe singulier du complexe ordonné $(\Delta_1)^P$. On a

$$W^* \sim \bigoplus_{i \in P} (\text{semi simplicial défini par } J_i \rightarrow \mathcal{O})$$

$$\text{homotopie} \sim \bigoplus (J_i \rightarrow \mathcal{O})$$

$$\text{pres. inv} \sim \bigoplus \mathcal{O}/J_i \text{ au degré}$$

d'où le lemme

Proposition 4.7 Il est d'une et d'une seule façon possible d'associer à chaque V convexe plus adapté à (X, Y) un module analytique cohérent $\alpha_k(V)$ de telle sorte que

- (a) on prolonge la définition 4.4
- (b) exactitude

Preuve. D'après 4.3, on doit poser

$$\alpha_k(V) = \alpha_k(V(\mathcal{O})) / \alpha_k(V(\mathcal{I}))$$

L'exactitude résulte de l'exactitude en V de $\alpha_k V(\cdot)$ et de 4.6.

Application 4.8

4.8. Soit X une variété analytique lisse et Y un diviseur à croisements normaux. Pour tout V sur X adapté à Y , la définition 4.7 de $\alpha_k(V)$ se globalise et fournit un faisceau analytique cohérent sur X . Les $\alpha_k(V)$ forment un système projectif, et on dispose d'un système projectif d'applications modérées de V dans $\alpha_k(V)$. On a

Proposition 4.9 (a) Si $f: V \rightarrow F$ est une application modérée, il existe pour tout compact K de X un entier k tel que f se factorise par

$$\alpha_k(V) \text{ sur } K$$

(b) Si deux applications $f_1, f_2: \mathcal{O}_X(V) \rightarrow \mathbb{F}$ induisant le même morphisme de V dans \mathbb{F} , il existe par tout compact K de X un entier $l \geq 1$ tel que $f_1|_{\mathcal{O}_X(V)} = f_2|_{\mathcal{O}_X(V)}$

La question est locale sur X

Revenant aux définitions, on se ramène au cas où V est localement \mathbb{C}^n sur un ouvert, prolongé par zéro, et on utilise 3.6 (b) + (c)

Corollaire

4.10. Soient X une variété algébrique de type fini sur \mathbb{C} et Y un diviseur à croisements normaux. Soit \bar{X} une compactification de X telle que $Y' = Y \cup (\bar{X} - X)$ soit un diviseur à croisements normaux. Si V sur X est adaptée à Y , alors $\mathcal{I}_Y(V)$ sur \bar{X} est adaptée à Y' . Puisque \bar{X} est propre par GAGA, on dispose de $\mathcal{O}_X(\mathcal{I}_Y(V))$ sur \bar{X} , et on pose

$$\omega_X(V) = \mathcal{O}_X(\mathcal{I}_Y(V))|_X$$

On tire de 4.9 que

Proposition 4.11 a) $\omega_X(V)$ est compatible à la localisation

b) $\omega_X(V)$ est compatible à l'image inverse par un morphisme lisse

c) $\varinjlim \text{Hom}(\omega_X(V), \mathbb{F}) \xrightarrow{\cong} \text{Hom}_{\text{mod}}(V, \mathbb{F})$

d) $\omega_X(V)$, et donc "lisse" $\omega_X(V)$ est exact en V

De b) + c) + 3.6.c), on peut déduire que $\omega_X(V) = \varinjlim \omega_X(V)$ est un cristal pro-cohérent sur X .

5. Construction de courbes par éclatement.

Cas général.

5.1. Soit $0 \rightarrow V' \rightarrow V \rightarrow V'' \rightarrow 0$ une suite exacte de faisceaux coherents sur X . Il résulte de la définition de la suite

$$a(V') \rightarrow a(V) \rightarrow a(V'') \rightarrow 0$$

est exacte. Pour prouver que a est exacte, il suffit donc de prouver que si

$$i: V_1 \hookrightarrow V_2$$

est un monomorphisme, alors $a(i)$ est monomorphisme. Ceci signifie que quel que soit l'homomorphisme modèle

$$f_1: V_1 \rightarrow F_1,$$

il existe un diagramme commutatif

$$\begin{array}{ccc} V_1 & \xrightarrow{i} & V_2 \\ f_1 \downarrow & & \downarrow f_2 \\ F_1 & \xrightarrow{\beta} & F_2 \end{array}$$

avec f_2 modèle et β monomorphisme.

Soit $u: X' \rightarrow X$ un morphisme projetif, de source lisse, tel que

existe un voisinage à voisinage normal Y auquel u^*V_1 et u^*V_2 sont adaptés. Choisissons une factorisation

$$\begin{array}{ccc} X' & \xrightarrow{\quad} & \mathbb{P}_X^2 \\ \downarrow & \searrow & \\ X & & \end{array}$$

soit X'_n le n -ième voisinage local de X' dans \mathbb{P}_X^2 . Pour n assez

grand, on a $F_1 \hookrightarrow u_* u^* F_1$. D'autre part, d'après le moy,

On a un X'_n

$$\alpha_{X'_n}(u^*V_1) \hookrightarrow \alpha_{X'_n}(u^*V_2)$$

de sorte qu'il existe f'_2 sur X'_n et un diagramme commutatif

$$\begin{array}{ccc} u^*V_1 & \hookrightarrow & u^*V_2 \\ \downarrow & & \downarrow f'_2 \\ u^*F_1 & \xrightarrow{\beta'} & u^*F_2 \end{array}$$

avec f'_2 surjectif et β' injectif. On en déduit par image directe

$$\begin{array}{ccc} V_1 & \hookrightarrow & V_2 \\ \downarrow & & \downarrow \\ F_1 & & F_2 \\ \downarrow & & \downarrow \\ u_* u^* F_1 & \hookrightarrow & u_* u^* F_2 \end{array}$$

et cela résout le problème posé :

→ or est exact

5.2. Pour prouver que (donc, et orais) $\alpha(V)$ est plat ^{par une limite de} que α commute aux images réciproques, ~~et une limite de constantes~~ et que α commute aux produits tensoriels, on se ramène par dévissage au cas où V est localement constant prolongé par 0 ou un schéma lisse, prolongé par 0, nos justifiabilité de 3.6 (c)+(d).

5.3. Il reste à prouver la platitude fidèle ~~thé~~ 3.5 (i). Je remet ce point plus tard (), me contentant ici de noter que le problème est local sur X , qu'on peut donc supposer plongé dans Z lisse (voire opposer lisse).

6. Cohomologie de De Rham

6.1. Un module pro-cohérent \mathcal{F} est dit plat si pour toute suite exacte $0 \rightarrow \mathcal{F}_1 \rightarrow \mathcal{F}_2 \rightarrow \mathcal{F}_3 \rightarrow 0$, ~~la suite~~ de modules cohérents $0 \rightarrow \mathcal{F} \otimes \mathcal{F}_1 \rightarrow \mathcal{F} \otimes \mathcal{F}_2 \rightarrow \mathcal{F} \otimes \mathcal{F}_3 \rightarrow 0$ est exacte [ex : $\alpha(V)$]

Un cristal pro-cohérent est dit plat si ~~par~~ les modules pro-cohérents qu'il définit sont plats.

6.2. Soit Z un schéma lisse, et \mathcal{V} un cristal pro-cohérent \rightarrow plat sur Z . On dispose alors d'un pro-complexe d'opérateurs différentiels du 1^{er} ordre

$$\Omega_Z^*(\mathcal{V})$$

ayant un analogue analytique

$$\Omega_Z^{*an}(\mathcal{V})$$

Définition 6.3. Soit \mathcal{V} un cristal pro-cohérent sur un schéma X . On dit que \mathcal{V} est constructible si il existe une partition finie de X en sous-schémas (lisses) (localement fermés) tels que $\mathcal{V}|_{X_i}$, $X = \coprod X_i$, tels que $\mathcal{V}|_{X_i}$ soit le cristal défini par un fibré vectoriel à connexion intégrable (régulière) sur X_i .

Exemple 6.4. Si \mathcal{V} est un système local sur X , alors $\alpha(\mathcal{V})$ est un cristal pro-cohérent constructible sur X , ainsi qu'on le voit par dévissage

Rmq (a) constructible est stable par extension

(b) constructible \Rightarrow plat.

Théorème 6.5 Soit V un cristal pro-cohérent constructible sur un schéma lisse Z .

(i) $H(Z, \Omega^*(V)) \rightarrow H(Z^{an}, \Omega^{*an}(V))$
 est un isomorphisme de pro-objets

(ii) $H^i(\Omega^{*an}(V)) = \begin{cases} 0 & \text{pour } i > 0 \\ \text{un faisceau constructible} & \text{pour } i = 0 \end{cases}$

en tant que pro-objet de la catégorie de faisceaux sur X .

Grâce à 1.6 (Appendice à Hartshorne), on se ramène par dévissage au cas où il existe un sous-schéma lisse localement fermé X de Z et un module à connexion intégrale régulier \mathcal{F} sur X tel que V soit le "prolongement $^+$ par zéro" de cristal correspondant.

$J_! \mathcal{F}(V)$

Par 1.5, on se ramène à supposer que \bar{X} est lisse (résolution des singularités de \bar{X} plongé ds X) et $\bar{X} - X$ un

~~diviseur à croisement normal~~

diviseur à croisement normal.

La construction de la lettre à Atiyah permettant alors d'achever sans grandes difficultés la démonstration.

Cor 6.6 Les foncteurs

$V \rightarrow \mathcal{H}(V)$
 $V \rightarrow H^0(\Omega^*)$

By devissage means that:

$0 \rightarrow J_! J^* V \rightarrow V \rightarrow i_* i^* V \rightarrow 0$

filtration of V consisted with $i: Y \rightarrow X$

$J: X - Y \hookrightarrow X \xrightarrow{i} Y$

Corollaire 6.6 Soient X un schéma et $j: X \hookrightarrow Z$ un plongement de X dans Z (line). Alors, les foncteurs

$$\begin{cases} V \rightarrow \alpha(V) \\ V \rightarrow \underline{H}^0(\Omega_Z^*(j, \mathcal{V})) \end{cases}$$

sont des équivalences de catégorie inverses l'une de l'autre entre systèmes locaux sur X et faisceaux algébriquement constructibles sur X_d et cristaux pro-cohérents constructibles sur X

Dém : a) α est exact

b) $\underline{H}^0(\Omega_Z^*(j, \mathcal{V}))$ est exact

c) one $V \rightarrow \underline{H}^0(\Omega_Z^*(j, \alpha(V)))$
 $\alpha(\underline{H}^0(\Omega_Z^*(j, \mathcal{V}))) \rightarrow \mathcal{V}$

\rightarrow désimage, et ces flèches sont des isomorphismes.

[6.5. / 6.6 est un peu bref, j'avoue]

~~Corollaire 6.7 ~~Il~~ On a des isomorphismes de pro-objet, pour X ~~est~~ un ensemble de unicorns~~

~~$H^*(X_d, V) \sim (X^a)$~~

Corollaire 6.7 Soit $j: X \hookrightarrow Z$ un plongement de X dans Z line séparé et soit ϕ l'ensemble des fermés de X_d fermés dans Z .

On a des isomorphismes de pro-objet

$$H_{\phi}^*(X, V) \xrightarrow{\sim} H^*(X^{\text{an}}, \Omega_Z^{*\text{an}}(j, \alpha(V))) \xleftarrow{\sim} H^*(X, \Omega_Z^*(j, \alpha(V)))$$

\uparrow supporto
 de ϕ i X

Corollaire 6.8 Soit X un schéma de type fini sur \mathbb{C} .

(a) équivalence de catégorie entre systèmes locaux ^(complexes) sur X et cristaux en fibres vectorielles constructibles sur X

(b) Soient les morphismes de topos

$$\begin{array}{ccc} X_{\text{ét}} \xrightarrow{\epsilon} X_{\text{crist}} & \xrightarrow{\epsilon} & X_{\text{crist}} \\ \downarrow h^{\text{an}} & & \downarrow h \\ X_{\text{cl}} & \xrightarrow{\epsilon} & X_{\text{zar}} \end{array}$$

Alors

1. Pour V système local sur X_{cl} , on a

$$= V \xrightarrow{\sim} R h_*^{\text{an}} (h^{\text{an}*} V \otimes_{\mathbb{C}} \mathcal{O})$$

(lemme de Poincaré cristallin)

2. Pour V cristal correspondant, on a

$$H^*(X_{\text{cl}}, V) \xrightarrow{\sim} H(X_{\text{crist}}^{\text{an}}, V^{\text{an}}) \xleftarrow{\sim} H(X_{\text{crist}}, V)$$

3. Pour $i: X \hookrightarrow Z$ immersion fermée dans Z lisse, on a

$$R h_* V = \varinjlim \Omega_{Z/X^n}^*(V)$$

$$R h_*^{\text{an}} V = \Omega_{Z/X^{\text{an}}}^*(V^{\text{an}})$$

$$H(X_{\text{cl}}, V) \xrightarrow{\sim} H(X_{\text{crist}}^{\text{an}}, V) \xleftarrow{\sim} H(X_{\text{crist}}, V)$$

cf. Coates, "On the cohomology of the p-adic étale site" (1970)
 mais cf. I. M. Gelfand and S. Yuzvinsky
 (MGA, Brown, 1960)

$$\begin{array}{ccc} H(X_{\text{cl}}, V) & \xrightarrow{\sim} & H(X_{\text{crist}}^{\text{an}}, V) \\ \searrow \text{cf. 6.6} & & \parallel \text{(cf Coates-Jumle)} \\ & & H(X_{\text{cl}}, \varinjlim \Omega_{Z/X^n}^*(V^{\text{an}})) \\ & & \xleftarrow{\sim \text{cf. 6.5}} & H(X_{\text{zar}}, \Omega_{Z/X^{\text{an}}}^*(V)) \\ & & \parallel \text{(cf Coates-Jumle)} & \end{array}$$

$$\varinjlim \Omega_{Z^n}^i(V)$$

pour Z_n n lisse voisine d'ordre n de X dans Z

Im. Kato, 1987
 pages 10-11
 col. 10-11
 2-4 p. 10-11
 2-4 p. 10-11
 2-4 p. 10-11

en bref, j'adore encore; top brief
 faire que voir une